

ΚΑΘΟΡΙΣΜΟΣ ΤΩΝ ΔΙΕΥΘΥΝΣΕΩΝ ΜΕΤΑΦΟΡΑΣ ΤΩΝ ΕΠΙΦΑΝΕΙΑΚΩΝ ΙΖΗΜΑΤΩΝ ΤΟΥ ΠΑΤΡΑΪΚΟΥ ΚΑΙ ΑΜΒΡΑΚΙΚΟΥ ΚΟΛΠΟΥ ΜΕ ΤΗ ΜΕΘΟΔΟ “MC LAREN” *

Γ. ΠΑΠΑΘΕΟΔΩΡΟΥ¹, & Ν. ΚΟΝΤΟΠΟΥΛΟΣ²

ΠΕΡΙΛΗΨΗ

Η μέθοδος του “McLaren”, η οποία καθορίζει τη διεύθυνση μεταφοράς των ιζημάτων από τις σχετικές μεταβολές των κοκκομετριών τους καιτιύλων, εφαρμόσθηκε με επιτυχία στις κοκκομετρικές δεδομένες επιφανειακών ιζημάτων του Πατραϊκού και Αμβρακικού κόλπου. Μια κυκλωνική διεύθυνση μεταφοράς ιζημάτων διαπιστώθηκε στο μεγαλύτερο τμήμα του Πατραϊκού κόλπου, η οποία είναι σύμφωνη με τη γενική κυκλοφορία των υδάτων του. Στον Αμβρακικό κόλπο, διαπιστώθηκε μια Δ.ΝΔ-ική διεύθυνση μεταφοράς στο βόρειο τμήμα του κόλπου και μια αισθενής τάση Α.ΝΔ-ικής διεύθυνσης μεταφοράς στο νότιο τμήμα του.

ABSTRACT

The “McLaren” method (McLaren and Bowles, 1984) was applied on 200 and 102 grab samples from Patras and Amvrakikos Gulfs, respectively. The method determines the sediment transport direction from relative changes of grain-size distributions. The determination of the transport direction is made by examining all the possible pairs of samples, of a -n- sample sequence, using a simple statistical technique.

A -n- sample sequence (sample line) is usually parallel to isobaths and/or to coastline. For such a sequence there are $(n^2-n)/2$ directionally oriented pairs that may exhibit a trend suggesting transport in one direction, and an equal number of pairs suggesting transport in the opposite direction. When any two samples are compared with respect to the mean size, sorting and skewness of their grain distributions, eight (8) possible trends exist. A sediment sample compared to the other in the directionally oriented pair, may be : (1) Finer (F), Better sorted (B) and more negatively skewed (-), (2) Coarse (C), more poorly sorted (P) and more positively skewed (+), (3) C,B,(-), (4) F,P,(-), (5) C,P,(-), (6) F,B,(+), (7) C,B,(+) and (8) F,P,(+). Only the Cases (1) and (7) are indicative of transport. These cases have a 1/8 ($p=0.125$) probability of occurring at random. In order to determine if the number of occurrences of a particular case exceeds the random probability of 0.125, the following two hypotheses must be tested:

H_0 : $p \leq 0.125$ there is no preferred direction, and

H_1 : $p > 0.125$ transport is occurring in a preferred direction.

Using the Z-score in a one-tailed test, H_1 is accepted if

$$Z = \frac{x - Np}{\sqrt{Npq}} > 1.645 \text{ (0.05 level of significance) or } > 2.33 \text{ (0.01 level of significance),}$$

where, x = observed number of pairs representing a particular case in one of the two opposing directions, $N=(n^2-n)/2$, $p=0.125$ and $q=1-p=0.875$.

* DETERMINATION OF SEDIMENT TRANSPORT DIRECTIONS USING THE “MC LAREN” METHOD. EXAMPLES FROM THE PATRAS AND AMVRAKIKOS GULFS. GREECE.

¹ Εργαστήριο Θαλάσσιας Γεωλογίας & Φυσικής Ωκεανογραφίας (Ε.Θ.Α.Γ.Ε.Φ.Ω), Τμήμα Γεωλογίας, Παν/μιο Πατρών.

² Καθηγητής, Τομέας Γενικής Θεοφράστος & Τμήμα Γεωλογίας, Α.Π.Θ.ωλογίας, Παν/μιο Πατρών.

The 200 sediment samples of the Gulf of Patras, provide ten sequences of samples (sample lines). Five of these sample lines were selected to illustrate the sediment transportation at the southern part of the Gulf and the rest of them to illustrate the sediment transportation at the northern part.

At the southern part of the Gulf (five sample lines), of the possible cases indicative of a transport direction, only Case (1) (F,B,-) in an NE-direction is significant ($Z=2.87-10.11$).

The analysis of the sample lines, from the northern part of the Gulf, show: (i) a clear and strong Case 1 (F,B,-) trend (Nº 7) in an NW-direction, (ii) a Case 7 (C.B,+) trend (Nº 8) in a NE-direction due to the existence of the Evnos river outflow and (iii) no significance trend (Nº 6 and 9).

The derived sediment transport pattern in the Gulf of Patras, according to above mentioned trends, is a cyclonic one and agree well with the known current patterns.

Ten sample lines were analyzed for sediment transport direction in the Amvrakikos Gulf. The examination of grain-size trends among these sample lines suggests the following:

- The sample lines (Nº 1 and 2), at the entrance of the Gulf, produced a strong Case 1 trend ($Z=8.82-10.14$), suggesting a net transport from Ionian Sea to the Amvrakikos Gulf.
- Two sample lines (Nº 7 and 8), from the northern part of the Gulf, show a clear Case 1 trend ($Z=5.91-10.29$) in the W.SW direction and this trend agree well with the one of Line 6, indicating that sediments transport is occurring westward.
- The sample lines (Nº 3,4 and 5), along the southern coastlines, do not seem to produce a clear case trend (i.e Case 1 in west direction and Case 7 in east direction). This is probably due to the existence of cohesive fine-grained sediments that dominate in this region.

In conclusion, the method demonstrates the existence of a W.SW sediment transport direction in the northern half of the Amvrakikos Gulf and a weak E.SE direction in the southern one.

KEY WORDS: McLaren method, grain-size statistical parameters, sediment transport, geostatistics, Gulf of Patras, Amvrakikos Gulf.

ΛΕΞΕΙΣ ΚΛΕΙΔΙΑ: "McLaren" μέθοδος, κοκκομετρικές στατιστικές παράμετροι, μεταφορά ιζημάτων, γεωστατιστική, Πατραϊκός κόλπος, Αιμβρακικός κόλπος.

1. ΕΙΣΑΓΩΓΗ

Ο καθορισμός των διεργασιών μεταφοράς και απόθεσης των ιζημάτων σε συγκεκριμένα ιζηματολογικά περιβάλλοντα, από τα χαρακτηριστικά των κοκκομετρικών καμπτιλών τους, απετέλεσε αντικείμενο έρευνας πολλών ερευνητών από τις αρχές του αιώνα (Udden 1914) έως σήμερα (Visher 1969, McLaren 1981, McLaren and Bowles 1985).

Οι προσπάθειες αυτές βασίσθηκαν αφενός μεν στην επεξεργασία των κοκκομετρικών δεδομένων με τις τυπικές στατιστικές παραμέτρους που εκφράζουν τις κοκκομετρικές καμπύλες των ιζημάτων και αφετέρου σε μεθόδους πολυμεταβλητής στατιστικής ανάλυσης όπως αυτή της παραγοντικής ανάλυσης (Factor-vector analysis).

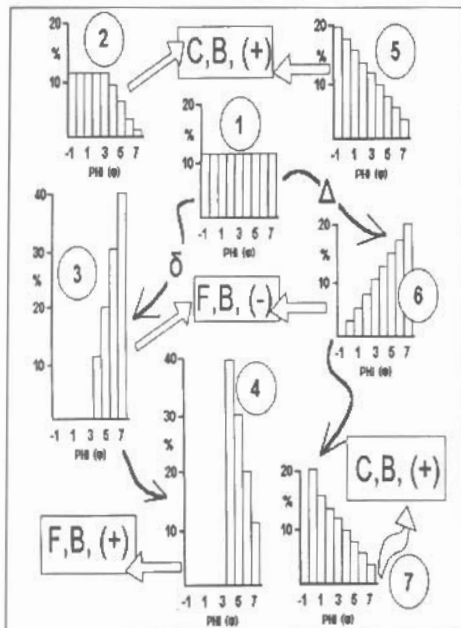
Από τις προσπάθειες που βασίσθηκαν αποκλειστικά στις στατιστικές παραμέτρους, τα προτεινόμενα μοντέλα από τους McLaren (1981) και McLaren and Bowles (1984) είναι αυτά που παρουσιάζονται ιδιαίτερα αποτελεσματικά.

Ο McLaren (1981) διατύπωσε την άποψή ότι το μέσο μέγεθος των κόκκων (mean size), η σταθερά απόκλιση (standard deviation) και η λοξότητα (skewness) ακολουθούν τάσεις ενδεικτικές της διεύθυνσης μεταφοράς του ιζήματος. Οι McLaren and Bowles (1985) εξέλιξαν το μοντέλο του McLaren (1981) εισάγοντας στατιστικό κριτήριο για τον καθορισμό της κυρίαρχης διεύθυνσης ενώ διερεύνησαν σε βάθος τις πιθανές τάσεις που δηλώνουν μεταφορά ιζηματος.

Σκοτός της παρούσας εργασίας είναι η παρουσίαση των αποτελεσμάτων της εφαρμογής της μεθόδου των McLaren and Bowles (1985) σε κοκκομετρικά δεδομένα επιφανειακών ιζημάτων δύο ημίκλειστων κόλπων της Δυτικής Ελλάδος, του Πατραϊκού και του Αιμβρακικού, με ιδιαίτερο ενδιαφέρον στην ψηφιακή Βιβλιοθήκη "Θεόφραστος". Την ίδια Γεωλογίας Α.Π.Θ.

2. ΕΠΙΔΡΑΣΗ ΤΗΣ ΜΕΤΑΦΟΡΑΣ ΤΩΝ ΙΖΗΜΑΤΩΝ ΣΤΗΝ ΚΟΚΚΟΜΕΤΡΙΚΗ ΚΑΜΠΥΛΗ ΤΟΥΣ : ΜΙΑ ΘΕΩΡΗΤΙΚΗ ΠΡΟΣΕΓΓΙΣΗ.

Ο McLaren (1981) εισήγαγε την άποψη ότι οι μεταβολές των τριών πρώτων στατιστικών παραμέτρων είναι ενδεικτικές της διεύθυνσης μεταφοράς του ιζήματος. Ένα υποθετικό μητρικό-ιζηματος με ίσα ποσοστά συμμετοχής κάθε τάξης μεγέθους, χρησιμοποιήθηκε από τον McLaren (1981) για το διαχωρισμό των αποθέσεων που προκύπτουν από συγκεκριμένες διεργασίες μεταφοράς και απόθεσης (Εικ. 1). Ο μηχανισμός διάβρωσης του μητρικού ιζήματος είναι δυνατόν να είναι είτε χαμηλής ενέργειας έτσι ώστε να μην διαβρώνει τάξεις μεγέθους κόκκων αδρομερέστερες του μέσου μεγέθους είτε υψηλής ενέργειας ώστε να διαβρώνει και να θέτει σε μεταφορά ποσοστά από όλες τις τάξεις μεγέθους. Το μέρος του μητρικού ιζήματος που παραμένει μετά τη δράση του μηχανισμού διάβρωσης είναι αδρομερέστερο, καλλίτερα διαβαθμισμένο και με θετικότερη λοξότητα από ότι το μητρικό και ανεξαρτήτως του επιπέδου ενέργειας του δρώντος μηχανισμού (Εικ.1). Το ιζηματος που προκύπτει ως ολική απόθεση του μεταφερόμενου ιζήματος είναι πάντα λεπτομερέστερο, με βελτιωμένη διαβάθμιση και αρνητικότερη λοξότητα. Το επίπεδο ενέργειας του μηχανισμού διάβρωσης διαφοροποιεί τη μορφή και συνεπάς τις στατιστικές παραμέτρους των αποθέσεων μόνον όταν αυτές προέρχονται από σταδιακή μείωση της ενέργειας του μηχανισμού μεταφοράς με αποτέλεσμα να αναπτύσσεται υδραυλική διαβάθμιση του αποτιθέμενου ιζήματος. Έτσι, ασθενής διεργασία διάβρωσης προκαλεί απόθεσης λεπτομερέστερες, καλλίτερα διαβαθμισμένες και με θετικότερη λοξότητα από ότι το μητρικό ιζηματος, ενώ η έντονη διάβρωση προκαλεί αδρομερέστερες αποθέσεις και ομοίως καλλίτερα διαβαθμισμένες και με θετικότερη λοξότητα (Εικ. 1).



Εικ. 1: Ιστογράμματα τα οποία αποδίδουν τις αλλαγές στις κοκκομετρικές καμπύλες όταν ένα υποθετικό ιζηματος (1) διαβρώνεται, μεταφέρεται (3.6) και αποτίθεται (4.7). ενώ ένα τμήμα του παραμένει στην αρχική του θέση (2.5) (Α: διεργασία διάβρωσης ικανή να διαβρώσει αδρομερέστερες του μέσου μεγέθους τάξεις, δ: διεργασία μη ικανή να διαβρώσει αδρομερέστερες του μέσου μεγέθους τάξεις, F: λεπτομερέστερο, C: αδρομερέστερο, B: καλλίτερα διαβαθμισμένο, (-): αρνητικότερη λοξότητα, (+): θετικότερη λοξότητα).

Fig. 1: Histograms showing the changes in grain size distributions when a hypothetical source sediment (1) is eroded, transported (3,6), deposited (4,7). A part of sediment (2.5) remaining after erosion. (Α: process capable of eroding coarser than mean size, δ: process not capable of eroding coarser than mean size, F:finer, C:coarser, B:better sorted, (-): more negative skewness, (+): more positive skewness).

Οι McLaren and Bowles (1985) βελτίωσαν το προτεινόμενο μοντέλο του McLaren (1981) απορρίπτοντας συγκεκριμένες τάσεις μεταβολής στατιστικών παραμέτρων, στηριζόμενοι και σε πειραματικά δεδομένα, ενώ εισήγαγαν την εφαρμογή αξιόπιστης στατιστικής δοκιμής (Z-test) για τον καθορισμό των κυριαρχών διευθύνσεων και διεργασιών μεταφοράς. Σύμφωνα με τους ίδιους ερευνητές ένα ιζηματος που έχει διαβρωθεί και τεθεί σε μεταφορά έχει μια κοκκομετρική κατανομή $[r_{(s)}]$ η οποία προκύπτει από την κατανομή του μητρικού ιζήματος $[g_{(s)}$, σύμφωνα με μια συνάρτηση μεταφοράς $[t_{(s)}$ (sediment transfer function) Ψηφιακή Βιβλιοθήκη "Θεόφραστος" - Τμήμα Γεωλογίας, Α.Π.Θ.

$$r(s_i) = k \cdot g(s_i) \cdot t(s_i) \quad (1)$$

όπου: K = συντελεστής κανονικοποίησης της $[r_{(s)}]$

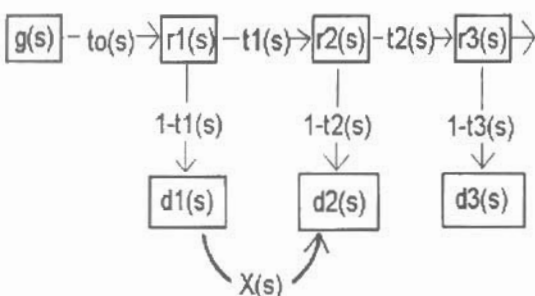
Με την απομάκρυνση του $[r_{(s)}]$ από το μητρικό ίζημα $[g_{(s)}]$ το εναπομείναν μέρος του ίζηματος έχει μια κοκκομετρική καμπύλη $[d_{(s)}]$, όπου:

$$d(s_i) = k' \cdot g(s_i) \cdot (I - t(s_i)) \quad (2)$$

ή με άλλη μορφή:

$$t'(s_i) = d(s_i) / k' \cdot g(s_i) \text{ όπου: } t'(s_i) = I - t(s_i)$$

Η συνάρτηση $[t_{(s)}]$ μπορεί να αποδοθεί με τον ίδιο ακριβώς τρόπο που αποδίδεται μια κοκκομετρική καμπύλη. Ως $[t_{(s)}]$ μπορεί να θεωρηθεί το ποσοστό της σιγκεχωμένης τάξης μεγέθους $[l_{(s)}$] το οποίο μεταβαίνει από το μητρικό ίζημα $[g_{(s)}]$ σε κατάσταση μεταφοράς $[r_{(s)}]$, και υπολογίζεται κάθε φορά ως $[r_{(s)} / g_{(s)}]$. Αν θεωρηθεί ότι ένα μέρος του μητρικού ίζηματος $[g_{(s)}]$ τίθεται σε μεταφορά, τότε ένα τμήμα του $[r_{(s)}]$, πρόκειται να αποτελεί στη συνέχεια ως $[d1_{(s)}]$, ενώ πλέον το μεταφερόμενο ίζημα θα έχει κατανομή $[r2_{(s)}]$, η οποία θα διαφέρει από την $[r1_{(s)}]$ λόγω της δράσης της συνάρτησης μεταφοράς $[t1_{(s)}]$ (Εικ. 2). Παρόμοια, η απόθεση $[d1_{(s)}]$ σχετίζεται με την κατανομή των μεταφερόμενου ίζηματος $[r1_{(s)}]$ με τη συνάρτηση μεταφοράς $[1-t1_{(s)}]$ (Εικ. 2).



Εικ. 2: Απλοποιημένη διαγραμματική απεικόνιση των μοντέλων των McLaren & Bowles (1985) για τον καθορισμό της διεύθυνσης μεταφοράς ιζημάτων (βλέπε κείμενο για επεξηγηση των όρων).

Fig. 2: Simplified diagrammatic representation of the sediment-transport model of McLaren & Bowles (1985) (see text for definition of terms).

Στην πραγματικότητα, οι κοκκομετρικές κατανομές που μπορούν να διατιστώθουν και σύλλεχθούν στο ύπαιθρο είναι οι διαδοχικές αποθέσεις $[d1_{(s)}]$, $[d2_{(s)}]$, ..., $[d_n_{(s)}]$. Συνεπώς το ζητούμενο είναι οι μεταβολές στη μορφή (και στις σπαστικές παραμέτρους) των κατανομών των $[d_{(s)}]$, οι οποίες μπορεί να εκφρασθούν με μία νέα συνάρτηση $[X_{(s)}]$ η οποία συσχετίζει δύο διαδοχικές αποθέσεις:

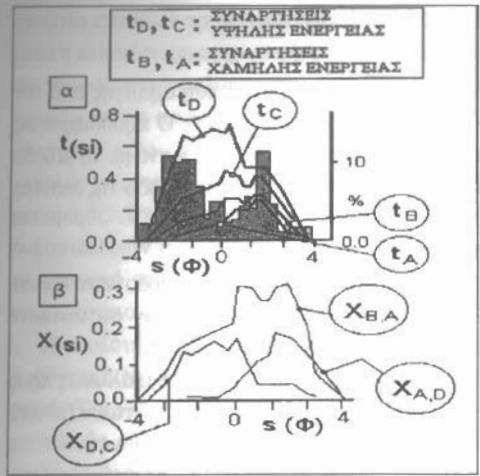
$$X(s) = d_2(s) / k \cdot d_1(s) \quad (3)$$

ή αν αποδοθεί σε σχέση με την $[t_{(s)}]$:

$$X(s) = \frac{t_1(s)(1-t_2(s))}{1-t_1(s)} \quad (4)$$

Οι McLaren and Bowles (1985) για να ξεπεράσουν το πρόβλημα του υπολογισμού της $[X_{(s)}$] αποκλειστικά από αιθαίρετες θεωρητικές τιμές χρησιμοποίησαν πειραματικά δεδομένα (Day 1980). Στην πειραματική διάταξη του Day (1980) μετρήθηκαν, σε κανάλι, τα ποσοστά των διαφόρων τάξεων μεγέθους κόκκων που βρίσκονται σε μεταφορά $[r_{(s)}]$ κάτω από την δράση ζευμάτων διαφόρων ταχυτήτων, ενώ ήταν γνωστή η κοκκομετρική σύσταση του μητρικού ίζηματος $[g_{(s)}]$ που κάλυπτε την κοίτη του καναλιού. Συνεπώς είναι δινατός ο υπολογισμός των συναρτήσεων $[t_{(s)}]$ (σχέση 1) για κάθε ζεύμα διαφορετικής ταχύτητας (Εικ. 3a). Οι καμπύλες $[t_{(s)}]$ που προέρχονται από σχετικά χαμηλές ταχύτητες φοής του ζεύματος ($<0.61\text{cm/sec}^2$) παρουσιάζουν αρνητική λοξότητα και καλούνται “συναρτήσεις χαμηλής ενέργειας” (Εικ. 3a), ενώ οι καμπύλες $[t_{(s)}]$ που είναι αποτέλεσμα της δράσης ισχυρών ζευμάτων ($0.61-0.74\text{cm/sec}^2$) παρουσιάζουν σχεδόν συμμετρική μορφή και χαρακτηρίζονται ως “συναρτήσεις τηψηλής ενέργειας” (Εικ. 3a).

Η μορφή της συνάρτησης $[X_{(s)}]$, όπως αυτή εκφράζεται από τη σχέση (4), και η οποία περιέχει πληροφορίες για τη μεταβολή των σπαστικών παραμέτρων δύο διαδοχικών αποθέσεων ίζηματος, είναι αποτέλεσμα της τελετελεστικής λεζάντας (McLaren and Bowles, 1985):



Εικ. 3: (a) Ιστόγραμμα της κοκκομετρικής κατανομής του μητρικού ιζήματος και των "συναρτήσεων μεταφοράς ιζημάτων" $t_{(s)}$ για διάφορες ταχύτητες δρώντων ρευμάτων (δεδομένα από Day, 1980) (β) Κατανομές της συναρτήσης $X_{(s)}$ για διάφορους συνδυασμούς συναρτήσεων μεταφοράς t_1 και t_2 .

Fig. 3: (a) Weight percentage of sediment distribution of bed material and the resultant transfer functions $t_{(s)}$ under different flow regimes (from data in Day, 1980). (b) Distributions of $X_{(s)}$ -functions calculated from various combinations of t_1 and t_2 .

(α) $t_1 < t_2$: που σημαίνει αύξηση της ενέργειας κατά τη διεύθυνση μεταφοράς. Η μορφή της καμπύλης $[X_{(s)}]$ είναι τοποθετηθεί ως t_1 =(συνάρτηση χαμηλής ενέργειας)= t_A και t_2 =(συνάρτηση υψηλής ενέργειας)= t_D , παρουσιάζει αρνητική λοξότητα. Η αρνητική λοξότητα της $[X_{(s)}]$ έχει ως αποτέλεσμα η απόθεση $[d1_{(s)}]$ να είναι λεπτομερέστερη, καλλίτερα διαβαθμισμένη και με αρνητικότερη λοξότητα από την απόθεση $[d2_{(s)}]$ [Τάση : **F,B,(-)**] (Εικ. 3β).

(β) $t_1 > t_2$ (t_1 =συνάρτηση χαμηλής ενέργειας): που σημαίνει μείωση της ενέργειας κατά τη διεύθυνση μεταφοράς. Η καμπύλη $[X_{(s)}]$ είναι τοποθετηθεί ως $t_1=t_B$ και $t_2=t_A$, παρουσιάζει και πάλι αρνητική λοξότητα και συνεπώς η απόθεση $[d2_{(s)}]$ σε σχέση με την $[d1_{(s)}]$, παρουσιάζει τάση [**F,B,(-)**] (Εικ. 3β).

(γ) $t_1 > t_2$ (t_1 =συνάρτηση υψηλής ενέργειας και t_2 =συνάρτηση υψηλής ή χαμηλής ενέργειας): που σημαίνει μείωση της ενέργειας κατά τη διεύθυνση μεταφοράς. Η προκύπτουσα καμπύλη $X_{(s)}$, εάν τοποθετηθεί $t_1=t_D$ και $t_2=t_C$, παρουσιάζει θετική λοξότητα με αποτέλεσμα η απόθεση $d2_{(s)}$ να είναι αδρομερέστερη, καλλίτερα διαβαθμισμένη και περισσότερο θετικά λοξεμένη από την απόθεση $d1_{(s)}$ [Τάση: **C,B,(+)**] (Εικ. 3β).

Συνεπώς σύμφωνα με το προτεινόμενο μοντέλο τάσεων των McLaren & Bowles (1985), δύο είναι οι κυρίαρχες τάσεις των στατιστικών παραμέτρων που δηλώνουν μεταφορά ιζήματος (α)F, B, (-) και (β) C,B,(+). Αυτό το μοντέλο των τάσεων αποδούπτει την προτεινόμενη από το McLaren (1981) τάση κατά την οποία η απόθεση είναι δυνατόν να είναι λεπτομερέστερη, καλλίτερα διαβαθμισμένη και με θετικότερη λοξότητα από το μητρικό ίζημα [Τάση F.B,(+)]. Επιπλέον πρέπει να τονισθεί ότι αν και η βελτίωση της διαβάθμισης είναι μια σχέση που προβλέπεται από όλες τις τάσεις, δεν πρέπει να θεωρείται απίθανη η χειροτερέυση της διαβάθμισης ιδιαίτερα στα τελευταία στάδια της απόθεσης.

Δύο σημεία προς διερεύνηση, τα οποία προκύπτουν από το προτεινόμενο μοντέλο τάσεων των McLaren & Bowles (1985) είναι :

(α) το οξύμωδο σχήμα της παρονοίας συνεχώς λεπτομερέστερων αποθέσεων με σύγχρονη αύξηση της ενέργειας της διεργασίας μεταφοράς, όπως προτείνει η τάση $t_1 < t_2$, και

(β) η συνεχή απόθεση όλο και αδρομερέστερων αποθέσεων όπως προτείνει η τάση $t_1 > t_2$ (t_1 =συνάρτηση υψηλής ενέργειας).

Η παρονοία συνεχώς λεπτομερέστερων αποθέσεων με μήχριστη αύξηση της ενέργειας κατά τη διεύθυνση μεταφοράς είναι μία συνθήκη που είναι δύσκολο να διαπιστωθεί στην ίπαθρο. Τέτοιους τύπους λεπτόκοκκες αποθέσεις σε καθεστώς υψηλής ενέργειας είναι δυνατόν να διατηρηθούν λόγω μεγάλης τροφοδοσίας ιζημάτων ή εξαιτίας της συνοχής που παρουσιάζουν τα λεπτόκοκκα ιζήματα.

Η απόθεση συνεχώς αδρομερέστερων αποθέσεων δεν είναι δυνατόν να συμβαίνει διαρκώς, διότι η συνάρτηση μεταφοράς $t_{(s)}$ μεταβαίνει σταδιακά σε συνάρτηση χαμηλής ενέργειας και συνεπώς λαμβάνει χώρα απόθεση λεπτοκοκκών ιζημάτων.

Ψηφιακή Βιβλιοθήκη "Θεόφραστος" - Τμήμα Γεωλογίας, Α.Π.Θ.

3. ΜΕΘΟΔΟΛΟΓΙΑ

(i) Εργασίες υπαίθου και εργαστηριακές αναλύσεις

Συνολικά, 200 και 102 επιφανειακά δείγματα ιζήματος συλλέχθηκαν με χρήση αρπάγης από τον Πατραϊκό και τον Αιμορωακό κόλπο, αντίστοιχα, από τους Piper et al (1982,1988). Ο προσδιορισμός του σκάφους έγινε με εξάντα. Η κοκκομετρική ανάλυση των δειγμάτων ιζήματος έγινε με τη μέθοδο του ξηρού κοσκινίσματος για το αδφομερές μέρος των ιζημάτων (<4Φ) και με τη μέθοδο της πιπέτας για το λεπτομερέστερο μέρος (>4Φ) και σύμφωνα με τη μεθοδολογία του Folk (1974).

(ii) Στατιστική επεξεργασία κοκκομετρικών δεδομένων.

Οι στατιστικές παραμέτροι των δειγμάτων ιζήματος υπολογίσθηκαν με τη μέθοδο των ροπών (momentis), η οποία υπολογίζεται με καλλίτερη ακρίβεια τις τιμές των τριών πρώτων στατιστικών παραμέτρων (μέσο μέγεθος - σταθερά απόκλιση - λοξότητα) από ότι η γραφική μέθοδος.

Σε κάθε περιοχή έρευνας επιλέχθηκαν ακολουθίες δειγμάτων ιζήματος, συνήθως παράλληλες προς τις ισοβαθείς ή/και τις ακτογραμμές. Για κάθε ακολουθία π-δειγμάτων ιζήματος προκύπτουν (p^2-n)/2 πιθανά ζεύγη δειγμάτων κατά μια διεύθυνση και ομοίως (p^2-n)/2 κατά την αντίθετη διεύθυνση.

Τα (p^2-n)/2 ζεύγη δειγμάτων σύμφωνα με τις τιμές του μέσου μεγέθους, της σταθερής απόκλισης και της λοξότητας, είναι δυνατόν να παρουσιάζουν οκτώ πιθανές τάσεις. Συγκεκριμένα, οι αποθέσεις $d_{1(8)}$ και $d_{2(8)}$, εάν συγκριθούν βάση των τιμών των τριών παραμέτρων τότε προκύπτει: (1) F.B.[-], (2) C.P.[+], (3) C.B.[-], (4) F.P.[-], (5) C.P.[-], (6) F.B.[+], (7) C.B.[+] και (8) F.P.[+]. Από τις προαναφερθείσες τάσεις μόνο οι F.B.[-] και C.B.[+], όπως έχει ήδη αναφερθεί, δηλώνονται μεταφορά ιζήματος. Κάθε μια από τις οκτώ τάσεις παρουσιάζουν 1/8 της πιθανότητας ($p=0.125$) να παρουσιασθούν τυχαία μεταξύ δύο διαδοχικών δειγμάτων. Συνεπός για να διαπιστωθεί εάν μια τάση υπερβαίνει την τυχαία εμφάνιση (>0.125) πρέπει να ελέγχεται η πιο κάτω υπόθεση:

H_0 : $p<0.125$ δεν υπάρχει καμία κυρίαρχη διεύθυνση,

H_1 : $p>0.125$ η μεταφορά εμφανίζεται σε συγκεκριμένη διεύθυνση.

Για τον έλεγχο της πιο πάνω πιθανότητας εφαρμόσθηκε η στατιστική δοκιμή -Z- (Z-score), σύμφωνα με την οποία η πιθανότητα (H_1) είναι αποδεκτή όταν:

$$Z = \frac{x - Np}{\sqrt{Npq}} \geq 1.645$$

(επίπεδο αξιοπιστίας 0.05), ή $Z \geq 2.33$ (επίπεδο αξιοπιστίας 0.01).

όπου: X: αριθμός ζευγών που ικανοποιούν μία από τις τάσεις των στατιστικών παραμέτρων σε μια από τις δύο διεύθυνσεις της ακολουθίας των ιζημάτων, $N=(p^2-n)/2$, $p=0.125$, $q=0.875$.

4. ΑΠΟΤΕΛΕΣΜΑΤΑ - ΣΥΖΗΤΗΣΗ

(a) Πατραϊκός κόλπος

Συνολικά δέκα ακολουθίες δειγμάτων ιζήματος αναλύθηκαν σύμφωνα με τη μέθοδο των McLaren & Bowles (1985), στον Πατραϊκό κόλπο. Στον Πίνακα 1 παρουσιάζονται οι τιμές -Z- για κάθε πιθανή διεύθυνση και τάση μεταφοράς των δέκα ακολουθιών, ενώ στην Εικ. 4 έχουν αποτυπωθεί οι κυρίαρχες διεύθυνσεις των ακολουθιών. Από τη μελέτη των τιμών -Z- διαπιστώνεται ότι στις οκτώ από τις δέκα ακολουθίες αναδεικνύεται στατιστικά μια και μόνη κυρίαρχη τάση στατιστικών παραμέτρων και διεύθυνση μεταφοράς. Αντίθετα, στην ακολουθία №6 δεν προκύπτει κυρίαρχη διεύθυνση και στην ακολουθία №9 κυρίαρχη τάση στατιστικών παραμέτρων (Πιν.1).

Στο δυτικό τμήμα του κόλπου, στην έξοδο του προς το Ιόνιο πέλαγος, διαπιστώνεται μια σαφής τάση μεταφοράς (F.B.[-]) με διεύθυνση από τα δυτικά προς τα ανατολικά (№1), η οποία παρουσιάζει ιδιαίτερα υψηλή τιμή -Z- (Πιν.1).

Κατά μήκος των ΝΑ-ικών ακτών του κόλπου, μια ομάδα τεσσάρων ακολουθιών (№ 2,3,4 και 5) παράλληλων προς την ακτογραμμή παρουσιάζουν μια σαφή μεταφορά ιζημάτων προς τα ΒΑ-ικά (Εικ. 4). Η κυρίαρχη τάση των ακολουθιών αυτών είναι η σταδιακή μείωση του μέσου μεγέθους, η βελτίωση της διαβάθμισης και η μειωσης της λοξότητας λόγω της αληθικής πρέξ (F.B.[-]). Ενδιαφέρον

στοιχείο αποτελεί το γεγονός ότι η υψηλότερη τιμή -Z- διαπιστώνεται στην ακολουθία №2 η οποία είναι η πλησιέστερη στην ακτή, ενώ οι τιμές του -Z- μειώνονται σε διεύθυνση απομάκρυνσης από αυτή. Το γεγονός αυτό δηλώνει την εξασθένηση του μηχανισμού μεταφοράς των ιζημάτων σε διεύθυνση απομάκρυνσης από την ακτή. Επιπλέον, η τάση (F.B.[I-]) που παρουσιάζουν οι τέσσερις ακολουθίες δειγμάτων είναι πιθανόν να είναι αποτέλεσμα της ενεργειακής κατάστασης $t_1 > t_2$ (t_1 =συνάρτηση χαμηλής ενέργειας), δηλαδή μείωση της ενέργειας της διεργασίας μεταφοράς κατά τη διεύθυνση της μεταφοράς. Το πιο πάνω συμπέρασμα ενισχύεται από τις σχετικά μικρές εντάσεις φενμάτων που διαπιστώθηκαν από τους Φερεντίνο κ.α (1993) στο Ν.Α-ικό τμήμα του κόλπου. Συγκεκριμένα, στο επιφανειακό στρώμα (0-10m) της υδάτινης στήλης μετρήθηκαν εντάσεις φενμάτων 7cm/sec ενώ στο υποεπιφανειακό 4.5cm/sec.

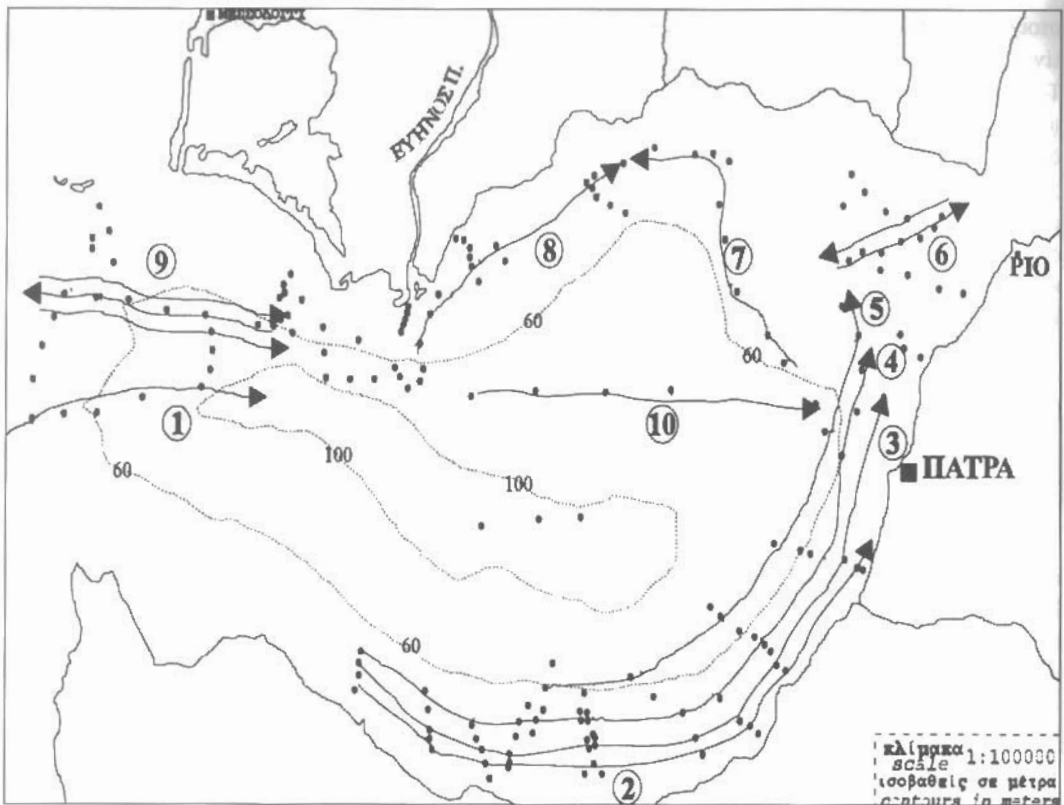
Η ακολουθία №6 η οποία έχει συλλεχθεί κοντά στο Στενό Ρίου-Αντιρρίου δεν προτείνει κυριαρχη διεύθυνση μεταφοράς εξαιτίας της μεταβαλλόμενης διεύθυνσης των φενμάτων που επικρατούν στο στενό (Εικ. 4, Πιν.1). Η ακολουθία δειγμάτων №7 προτείνει μια τάση (F.B.[I-]) και διεύθυνση μεταφοράς των ιζημάτων προς τα ΒΔ-ικά, και βρίσκεται σε πλήρη συμφωνία με τις τάσεις των ακολουθιών № 2,3,4 και 5 (Εικ. 4, Πιν.1).

Η ακολουθία № 8 η οποία εκκινεί περίπου από τις εκβολές του ποταμού Εύπηνου, παρουσιάζει Α.ΒΑ-ική διεύθυνση μεταφοράς των ιζημάτων, δηλαδή σε διεύθυνση απομάκρυνσης από τις εκβολές, ενώ επιπλέον χαρακτηρίζεται από την τάση (C.B.[+]) μεταξύ των στατιστικών παραμέτρων (Εικ. 4, Πιν.1). Η τάση (C.B.[+]) δηλώνει την ενεργειακή κατάσταση $t_1 > t_2$ (t_1 =συνάρτηση υψηλής ενέργειας και t_2 =συνάρτηση υψηλής ή χαμηλής ενέργειας), δηλαδή μείωση της ενέργειας σε διεύθυνση απομάκρυνσης από τις εκβολές του ποταμού με καθεστώς υψηλής ενέργειας (t_1) στην περιοχή των εκβολών. Αντιθέτως, η ακολουθία 9 δεν παρουσιάζει κυριαρχη τάση ή στατιστικά αξιοσημείωτη διεύθυνση, γεγονός που πιθανώς οφείλεται στη θέση της ακολουθίας στην οποία επιδρά τόσο η τροφοδοσία του Εύπηνου ποταμού όσο και η κυκλοφορία των υδατίνων μαζών μεταξύ Ιονίου και Πατραϊκού κόλπου.

ΠΙΝΑΚΑΣ 1

ΑΚΟΛΟΥΘΙΑ ΤΑΣΗ ΔΕΙΓΜΑΤΩΝ	ΔΙΕΥΘ.	N	X	Z	ΑΚΟΛΟΥΘΙΑ ΔΕΙΓΜΑΤΩΝ	ΤΑΣΗ	ΔΙΕΥΘ.	N	X	Z		
1	FB -	Δ-Α	10	8	6.45	CB +	2	FB -	ΝΔ-ΒΑ	21	18	10.11
		A-Δ	10	0	-1.95				ΒΑ-ΝΔ	21	0	-1.73
	CB +	Δ-Α	10	0	-1.95		4	FB -	ΝΔ-ΒΑ	21	0	-1.73
		A-Δ	10	0	-1.95				ΒΑ-ΝΔ	21	2	-0.41
3	FB -	ΝΔ-ΒΑ	28	12	4.86	CB +	FB -	ΝΔ-ΒΑ	45	12	2.87	
		ΒΑ-ΝΔ	28	1	-1.43			FB -	ΒΑ-ΝΔ	45	2	-0.33
	CB +	ΝΔ-ΒΑ	28	0	-1.14		CB +	ΝΔ-ΒΑ	45	2	-0.33	
		ΒΑ-ΝΔ	28	6	1.43			FB -	ΒΑ-ΝΔ	45	3	-0.12
5	FB -	ΝΔ-ΒΑ	21	10	4.86	CB +	6	FB -	Δ-Α	28	0	-1.14
		ΒΑ-ΝΔ	21	0	-1.73				A-Δ	28	9	1.80
	CB +	ΝΔ-ΒΑ	21	0	-1.73		CB +	Δ-Α	28	11	2.45	
		ΒΑ-ΝΔ	21	0	-1.14			FB -	A-Δ	28	0	-1.14
7	FB -	ΝΑ-ΒΔ	36	15	5.30	CB +	8	FB -	ΒΑ-ΝΔ	45	9	1.52
		ΒΔ-ΝΑ	36	0	-2.27				ΝΔ-ΒΑ	45	0	-2.53
	CB +	ΝΑ-ΒΔ	36	0	-2.27		CB +	ΒΑ-ΝΔ	45	0	-2.53	
		ΒΔ-ΝΑ	36	5	0.25			FB -	ΝΔ-ΒΑ	45	15	4.22
9	FB -	A-Δ	36	3	-0.76	CB +	10	FB -	A-Δ	10	0	-1.19
		Δ-Α	36	7	1.26				A-Δ	10	3	1.67
	CB +	A-Δ	36	5	0.25		CB +	A-Δ	10	1	-0.24	
		Δ-Α	36	8	0.25			FB -	Δ-Α	10	0	-1.19

Ψηφιακή Βιβλιοθήκη "Θεόφραστος" - Τμήμα Γεωλογίας, Α.Π.Θ.



Εικ.4: Διευθύνσεις μεταφοράς ιζημάτων στον Πατραϊκό κόλπο, όπως καθορίσθηκαν από τη μέθοδο McLaren (Οι αριθμοί αναφέρονται σε ακολουθίες δειγμάτων).

Fig.4: Pattern of sediment transport (McLaren method) in the Gulf of Patras (The numbers correspond to sample lines).

Η αποτύπωση των διευθύνσεων μεταφοράς όλων των ακολουθιών δειγμάτων υποστηρίζει μια σαφή κυκλωνική μεταφορά των ιζημάτων στο μεγαλύτερο τουλάχιστον τμήμα του Πατραϊκού κόλπου (Εικ. 4). Το γενικό αυτό συμπέρασμα φαίνεται να επιβεβαιώνεται από τη γενική μετακίνηση των υδατίνων μάζων του κόλπου όπως δίνεται από άλλους ερευνητές. Υδάτινες μάζες του Ιονίου εισέρχονται στον Πατραϊκό κόλπο και κινούνται κατά μήκος της νότιας ακτογραμμής του, ενώ υδάτινες μάζες του Κορινθιακού, δια μέσου του στενού του Ρίου-Αντίρριου επηρεάζουν κυρίως το Β.Α-ικό τμήμα του κόλπου (Παπαγιλιού, 1982). Ο Παπαγεωργίου κ.α (1987) επιβεβαίωνται αυτή την κυκλωνική κίνηση των υδάτων με ρευματομετρήσεις (περίοδος: Αυγ. 1980) στο υπεριφανειακό στρώμα του κόλπου. Οι Φερεντίνος κ.ά (1993) δόμησαν ένα αριθμητικό ομοίωμα (μοντέλο) της κυκλοφορίας του κόλπου, το οποίο βασίζεται αφενός σε ανεμολογικά δεδομένα και αφετέρου στη M2 παλιόρροια (βωδη), η οποία είναι η σημαντικότερη παλιόρροιακή συνιστώσα του κόλπου, και έδειξαν ότι μια συνδυαστική δράση της M2 με συνεχή δράση ΝΔ-ικών ανέμων προκαλεί μόνιμη κυκλωνική ροή στο Ν. Πατραϊκό.

(β) Αμβρακικός κόλπος

Στον Αμβρακικό κόλπο αναλύθηκαν σύμφωνα με τη μέθοδο των McLaren & Bowles (1985), συνολικά δέκα ακολουθίες δειγμάτων. Στον Πίνακα 2 παρουσιάζονται οι τιμές -Z- για κάθε πιθανή διεύθυνση και τάση μεταφοράς των δέκα ακολουθιών, ενώ στην Εικ. 5 έχουν αποτυπωθεί οι κυριαρχεῖς διεύθυνσεις των ακολουθιών. Από τη μελέτη των τιμών -Z- διαπιστώνεται ότι έχει ακολουθίες δειγμάτων παρουσιάζουν με σημαντικά αξιόπιστο τοπόρια κρούσης διεύθυνση μεταφοράς ενώ ένας σημαντικός αριθμός (4) ακολουθιών δεν αναδεικνύουν μια μόνο διεύθυνση (Πίν.2). Η απονοία

κυριαρχης διεύθυνσης μεταφοράς σε αυτές τις ακολουθίες είναι πιθανός αποτέλεσμα της έλλειψης καθεστώτος ισχυρών ρευμάτων σταθερής διεύθυνσης σε συνδυασμό με την ανέξημένη τροφοδοσία του κόλπου σε ίζηματα.

Οι ακολουθίες №1 και 2 παρουσιάζουν μια ιδιαίτερα ισχυρή διεύθυνση μεταφοράς ίζημάτων προς το εσωτερικό του κόλπου (Εικ. 5) με σαφή τάση (F.B.-), ενώ οι αντίστοιχες τιμές -Z- είναι οι υψηλότερες στον κόλπο (Πιν.2). Τα αποτελέσματα της ανάλυσης των ακολουθιών №1 και 2 βρίσκονται σε πλήρη συμφωνία με μετρήσεις ρευμάτων στο Στενό της Πρέβεζας (Φερεντίνος και Αχιλλεόπουλος 1990). Συγκεκριμένα, διαπιστώθηκε είσοδος πικνών υποεπιφανειακών υδατίνων μαζών από το Ιόνιο προς τον Αμβρακικό κόλπο με σύγχρονη έξοδο επιφανειακών μαζών του.

ΠΙΝΑΚΑΣ 1

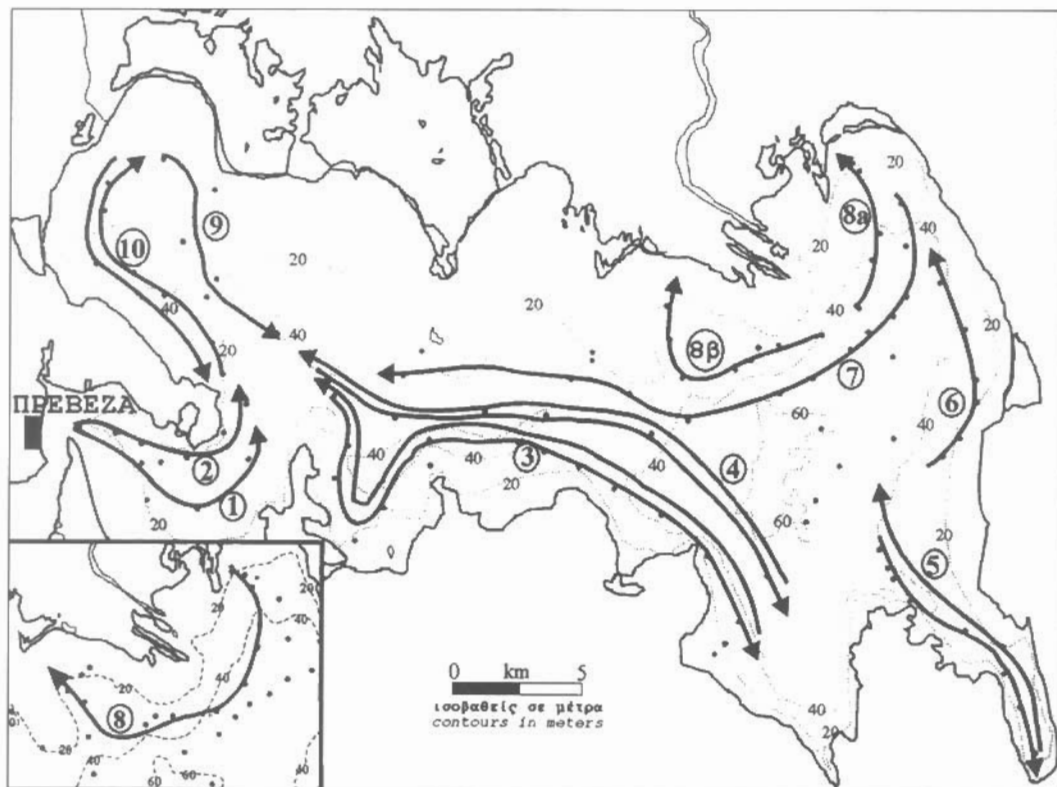
ΑΚΟΛΟΥΘΙΑ ΤΑΣΗ ΔΕΙΓΜΑΤΩΝ		ΔΙΕΥΘ.	N	X	Z	ΑΚΟΛΟΥΘΙΑ ΤΑΣΗ ΔΕΙΓΜΑΤΩΝ		ΔΙΕΥΘ.	N	X	Z
1	FB -	Δ-Α	21	16	8.82	2	FB -	Δ-Α	21	18	10.14
		A-Δ	21	0	-1.73			A-Δ	21	0	-1.73
	CB +	Δ-Α	21	0	-1.73		CB +	Δ-Α	21	0	-1.73
		A-Δ	21	0	-1.73			A-Δ	21	0	-1.73
3	FB -	Δ-Α	78	8	-0.6	4	FB -	Δ-Α	15	1	-0.68
		A-Δ	78	21	3.85			A-Δ	15	5	2.44
	CB +	Δ-Α	78	23	4.54		CB +	Δ-Α	15	4	1.66
		A-Δ	78	4	-1.97			A-Δ	15	0	-1.47
5	FB -	BΔ-ΝΔ	36	14	4.79	6	FB -	N-B	28	14	6.00
		ΝΔ-ΒΔ	36	6	0.76			B-N	28	3	-0.29
	CB +	BΔ-ΝΔ	36	0	-2.27		CB +	N-B	28	4	0.29
		ΝΔ-ΒΔ	36	8	1.76			B-N	28	1	-1.43
7	FB -	ABA-ΔΝΔ	78	27	5.91	8	FB -	BA-ΝΔ	105	48	10.29
		ΔΝΔ-ABA	78	0	-3.34			ΝΔ-ΒΑ	105	19	1.62
	CB +	ABA-ΔΝΔ	78	1	-2.99		CB +	BA-ΝΔ	105	3	-3.10
		ΔΝΔ-ABA	78	14	1.46			ΝΔ-ΒΑ	105	5	-2.51
8 ^a	FB -	ΒΑ-ΝΔ	15	0	-1.46	8 ^β	FB -	ΒΑ-ΝΔ	36	19	7.31
		ΝΔ-ΒΑ	15	12	7.90			ΝΔ-ΒΑ	36	1	-1.76
	CB +	ΒΑ-ΝΔ	15	0	-1.46		CB +	ΒΑ-ΝΔ	36	0	-2.27
		ΝΔ-ΒΑ	15	0	-1.46			ΝΔ-ΒΑ	36	3	-0.76
9	FB -	ΝΔ-ΒΔ	15	1	-0.68	10	FB -	ΒΔ-ΝΔ	28	9	3.64
		ΒΔ-ΝΔ	15	10	6.34			ΝΔ-ΒΔ	28	13	5.93
	CB +	ΝΔ-ΒΔ	15	2	0.10		CB +	ΒΔ-ΝΔ	28	0	-1.14
		ΒΔ-ΝΔ	15	0	-1.46			ΝΔ-ΒΔ	28	0	-1.14

Οι ακολουθίες № 3,4 και 5, οι οποίες είναι παραλληλες στις νότιες ακτές του Αμβρακικού, παρότι δεν εκφράζουν μια συγκεκριμένη διεύθυνση μεταφοράς, μπορεί να υποστηριχθεί ότι παρουσιάζουν μια ελαφρά κυριαρχία της A.NA-ικής διεύθυνσης όπως διαπιστώνεται από τις τιμές -Z-(Εικ. 5, Πιν.2). Αντίθετως, οι ακολουθίες №7 και 8 του B. Αμβρακικού κόλπου παρουσιάζουν μια σαφή Δ.NΔ-ική διεύθυνση μεταφοράς των ίζημάτων και συνδυάζονται απόλυτα με την τάση (F.B.-) και τη διεύθυνση μεταφοράς (B.Δ-ική) της ακολουθίας №6 (Εικ. 5). Ενδιαφέρον παρουσιάζει το γεγονός ότι ο διαχωρισμός της ακολουθίας №8 σε δύο επιμέρους ακολουθίες δειγμάτων (№ 8α,8β) εκπέφιωθεν των εκβολών του Άραχθου ποταμού, οδηγεί στον καθορισμό διεύθυνσεων απόκλισης (Εικ. 5).

Ψηφιακή Βιβλιοθήκη "Θέραστρος"- Τμήμα Γεωλογίας, Α.Π.Θ.

Η αποτύπωση των δειγμάτων μεταφοράς διανομής των δειγμάτων στον Αμβρακικό

κόλπο δείχνει μια διαφοροποίηση στις διευθύνσεις μεταφοράς μεταξύ βόρειου και νότιου τμήματος του κόλπου (Εικ. 5). Συγκεκριμένα, στο Ν. Αμβρακικό κυριαρχεί ελαφρά μια ANA-ική διεύθυνση μεταφοράς, στο Β. Αμβρακικό μια ΔΝΔ-ική διεύθυνση, ενώ στην είσοδο του κόλπου διατιστώνται μια εξαιρετικά ισχυρή διεύθυνση εισόδου (Α-ική) (Εικ. 5). Πρέπει όμως να τονισθεί ότι μεταβολές των στατιστικών παραμέτρων ως αποτέλεσμα μεταφοράς ιζημάτων, είναι δύσκολο να “αποτυπωθούν” στις εξαιρετικά λεπτόκοκκες (μέσο μέγεθος: 7-9Φ) αποθέσεις του Αμβρακικού κόλπου, εξαιτίας φαινομένων συνοχής που αναπτύσσονται αυτές στην διαβρωτική δράση των ζευμάτων. Το γεγονός αυτό είναι ένα στοιχείο που αιτιολογεί τη φτωχή έκφραση των διευθύνσεων μεταφοράς των ιζημάτων, ιδιαιτέρως, στο νότιο τμήμα του κόλπου.



Εικ.5: Διευθύνσεις μεταφοράς ιζημάτων στον Αμβρακικό κόλπο, όπως καθορισθηκαν από τη μέθοδο McLaren (Οι αριθμοί αναφέρονται σε ακολουθίες δειγμάτων).

Fig.5: Pattern of sediment transport (McLaren method) in the Amvrakikos Gulf (The numbers correspond to sample lines).

ΒΙΒΛΙΟΓΡΑΦΙΑ

- DAY T.J. (1980): "A study of the transport of graded sediments" *Report № IT 190, Hydraulics Research station*, Wallingford, England, p. 11.
- FOLK R.L. (1974): "Petrology of sedimentary rocks" Hemphill Publishing Co.Texas
- MCLAREN P. & BOWLES D. (1985): "The effects of sediment transport on grain-size distributions" *Journal Of Sedimentary Petrology*, Vol. 55, № 4, p. 457-470.
- MCLAREN P. (1981): "An interpretation of trends in grain size measures" *Journal Of Sedimentary Petrology*, Vol. 51, № 2, p. 611-624.
- ΠΑΠΑΓΕΩΡΓΙΟΥ Σητειακή Βιβλιοθήκη "Θεόφραστος"-Τμήμα Γεωλογίας Α.Π.Θ. (1987): "Παρατηρήσεις

- θαλασσίων ουεμάτων στο Ανατολικό Ιόνιο πέλαγος: Πατραϊκός κόλπος". *Β' Πανελλήνιο Συνέδριο Ωκεανογραφίας & Αλιείας*. Αθήνα 11-15 Μαΐου 1987, σελ. 242-253.
- ΠΑΠΑΗΛΙΟΥ Δ. (1982): "Ωκεανογραφική μελέτη Πατραϊκού κόλπου" *Τεχνική Έκθεση ΕΤΒΑ*
- ΦΕΡΕΝΤΙΝΟΣ Γ. & ΑΧΙΛΑΕΟΠΟΥΛΟΣ (1990): "Ωκεανογραφική μελέτη Διαύλου Λευκάδας" *Τεχνική Έκθεση ΥΠΕΧΩΔΕ*.
- PIPER D.J., PANAGOS A.G & KONTOPOULOS N. (1982): "Some observations on surficial sediments and physical oceanography of the Gulf of Amvrakia" *Thalassographica* vol. 5, p.63-80.
- PIPER D.J., KONTOPOULOS N. & PANAGOS A.G. (1989): "Deltaic sedimentation and stratigraphic sequences in post-orogenic basins, Western Greece" *Sedimentary Geology*, vol. 55, p. 283-294.
- ΦΕΡΕΝΤΙΝΟΣ Γ., ΚΑΣΤΑΝΟΣ Ν. & ΖΑΧΑΡΙΑΣ Ι. (1993): "Ωκεανογραφικές έρευνες για την τοποθέτηση του υποθαλάσσιου αγωγού λυμάτων της Πάτρας" *Τεχνική Έκθεση ΔΕΥΑΠ*.
- UDDEN J.A. (1914): "Mechanical composition of clastic sediments" *Geological Society of America Bulletin*, Vol. 25, p. 655-744.
- VISHER G.S. (1969): "Grain size distributions and depositional processes" *Journal Of Sedimentary Petrology*, Vol. 39, p. 1074-1106.

ΔΙΑΓΡΑΦΗ ΣΤΙΓΜΩΝ

The main hydrodynamic
and climatic regime
of the area is
described by
Papahelios et al.
(1989, Fig.

The bottom grain
size distribution features
variations of the depth
from 0 to 100 m.

The resulting Co
grain size distributions
are plotted in Fig.
The bottom grain size
distribution is
described by
Papahelios et al.
(1989, Fig.

The bottom grain
size distribution
is described by
Papahelios et al.
(1989, Fig.

The bottom grain
size distribution
is described by
Papahelios et al.
(1989, Fig.

The bottom grain
size distribution
is described by
Papahelios et al.
(1989, Fig.